

## ارزیابی رفتار دینامیکی انواع پل های کابلی ایستا در برابر نیروی زلزله

علیرضا میرزا گل تبار روشن<sup>\*</sup>، جواد واثقی امیری<sup>۲</sup>، اویس دلاوریان عباس آبادی<sup>۳</sup>

۱- دانشیار، دانشگاه صنعتی نوشیروانی بابل، مازندران، ایران

۲- استاد، دانشگاه صنعتی نوشیروانی بابل، مازندران، ایران

۳- دانشجوی کارشناسی ارشد مهندسی عمران، دانشگاه صنعتی نوشیروانی بابل، مازندران، ایران

### چکیده

یکی از معیارهای پیشرفت بشر، توانایی ساخت سازه هایی عظیم تر و بلندتر می باشد. از یک طرف به دلیل رشد سریع در زمینه های فناوری کامپیوتر، کابل های فولادی با مقاومت بالا، تحلیل و ساخت پل های کابلی ایستا و از طرف دیگر به لحاظ ظاهر زیبا، جنبه های اقتصادی و آسان بودن ساخت، این نوع پل ها در نیم قرن اخیر از پر کاربرد ترین سازه ها برای پل های با دهانه متوسط تا بزرگ (از ۲۰۰ متر تا ۱۰۰۰ متر) به شمار می آیند. وجود کابل های انعطاف پذیر در سازه اصلی پلهای کابلی باعث بروز رفتار متفاوت این سازه ها با سایر سازه ها می گردد. در این مقاله رفتار دینامیکی غیر خطی پل های کابلی ایستا و برخی عوامل موثر بر آن (نوع آرایش کابلها و نوع شکل پایلون) مورد توجه قرار گرفت. برای رسیدن به این منظور از نرم افزار CSI Bridge استفاده شده است. روش تحلیل غیر خطی تاریخچه زمانی به روش انتگرال گیری مستقیم مورد تحلیل قرار گرفت. به دلیل اهمیت مساله غیر خطی در رفتار سازه، در تحلیل های انجام شده رفتار غیر خطی هندسی سازه شامل اندرکنش نیروی محوری فشاری با لنگر خمشی و نیز اثر تغییر شکل های نسبتاً بزرگ در سازه منظور شده است. در بررسی رفتار دینامیکی، رفتار سازه تحت اثر مولفه های زمین لرزه با در نظر گرفتن انواع مختلف شکل پایلون با توجه به حالات آرایش کابل مورد تحلیل و بررسی قرار گرفتند. نتایج حاصله نشان می دهد در پلهای کابلی با آرایش کابل موازی با پایلون H شکل و برای پل کابلی با آرایش کابل بادیزنسی و شعاعی با پایلون A شکل، عملکرد مطلوب و بهتری دارد.

**کلمات کلیدی:** پل های کابلی ایستا، تحلیل دینامیکی غیر خطی، رفتار غیر خطی، زمین لرزه، پایلون.

\*نویسنده مسئول: علیرضا میرزا گل تبار روشن  
پست الکترونیکی: ar-goltabar@nit.ac.ir

## ۱- تاریخچه تحقیقات

مسئله عبور از رودخانه و دره ها یکی از مشکلات مبتلا به بشر از ابتدای تاکنون بوده است. از این رو مسئله پل یکی از مسائل اساسی است که سابقه دیرینه دارد. انواع پل ها از چوب و مصالح بنایی یکی از راه حل هایی است که بشر از هزاران سال پیش بدان دست یافته و در چند قرن اخیر پل های فلزی و بتنه در مقیاس بسیار وسیعی جای پل های قدیمی را پر کرده است. می توان پل هایی با دهانه بیش از ۱۰۰۰ متر (پل های کابلی در روسیه چین و ژاپن) که خود دستاورده در مهندسی سازه محسوب می شود، نام برد. لذا در این مقاله به بررسی پل های کابلی ایستاد با آرایش های متفاوت پرداخته شده است.

از اولین کسانی که تحقیق خود را در زمینه‌ی آنالیز استاتیکی غیر خطی پلهای کابلی ارائه کرد فلمینگ بود. ایشان با تهیه یک برنامه کامپیوتری جهت تحلیل سازه، به نتایج دلخواه رسید. ایشان در این تحقیق حالات غیر خطی اعم از خیز کابلها به علت وزن خودشان، اندرکنش بین بار محوری و لنگر خمثی در اعضای خمثی سازه و تغییر شکل بزرگ را مورد مطالعه قرار داد که نتایج تحقیقات وی به شرح زیر است: (۱) اثرات غیر خطی ناشی از تغییر در هندسه سازه سهم کوچکی از رفتار غیر خطی سازه را به خود اختصاص می دهد و برای بارهای معمولی می توان از آن صرفه نظر کرد. (۲) اثر اندرکنش بین بار محوری و لنگر خمثی در اعضای خمثی سازه قابل توجه نیست و برای سادگی در محاسبات میتوان از آن صرفه نظر کرد [۱].

کوماتسو و همکارانش در سال ۱۹۷۵ تحقیقات موردی را در مورد مشخصات دینامیکی پل های کابلی انجام دادند و نتایج عددی را با نتایج آزمایشگاهی مقایسه نمودند. در تحقیقات ایشان تاثیر عواملی مثل سختی کابل بر روی مشخصات ارتعاشی سازه و سرعت وسایل نقلیه بر روی ضریب تقویت دینامیکی بررسی شد [۲].

سان بینگ و زانگ به صورت موردی تحلیل سه بعدی غیر خطی یک پل ترکیبی معلق- کابلی را جهت مطالعه پایداری دینامیکی آن با در نظر گرفتن برخی پارامترها همچون شکم دادگی کابل، طول بخش معلق و شکل عرشه انجام دادند و در انتهای به این نتیجه رسیدند که پل ترکیبی معلق- کابلی نسبت به یک پل معلق با همان طول دهانه دارای برتری است. همچنین دریافتند که هر چه طول بخش معلق کوتاهتر باشد برای پل ترکیبی مفیدتر است. دیگر اینکه استفاده از عرشه مرکب روشی مناسب برای بهبود پایداری دینامیکی پل ترکیبی است. از طرفی ستون های فرعی در دهانه های کناری از نظر دینامیکی برای پل ترکیبی مناسب است [۳].

عبدالقفار و همکارانش تحقیقات خود را در زمینه رفتار لرزه ای پل های کابلی سه بعدی ارائه کردند. در این تحقیق حرکات غیر یکنواخت و یکنواخت اعمال شده بر پایه های پل در نظر گرفته شد. حالت های غیر خطی (مانند تغییر هندسی ناشی از تغییر شکل های بزرگ و اندرکنش بین نیروی محوری و لنگر خمثی در برج و شاهتیر سخت کننده) در پل های کابلی نیز مورد توجه قرار گرفت. سپس روش تکرار با استفاده از ماتریس سختی مماسی برای مطالعه پاسخ لرزه ای غیر خطی مورد استفاده قرار گرفت و در نهایت مثالهای عددی نیز برای مقایسه بین تحلیل پاسخ خطی و غیر خطی در مقابل زلزله با استفاده از روش نموی (گام به گام) ارائه شد [۴].

نظمی و همکارانش تحقیقاتی را در زمینه تحلیل استاتیکی غیر خطی سه بعدی پل های کابلی ارائه نمودند. در این تحقیق روش آنالیز استاتیکی غیر خطی پل های کابلی تحت اثر وزن خود و نیروی پیش کشیدگی اولیه در کابل ها بیان شد. همچنین تمامی منابع غیر خطی (اعم از خیز کابل ها، و تغییر هندسی سازه در اثر تغییر شکل های بزرگ) در نظر گرفته شد و برای آنالیز P-M اندر کنش استاتیکی غیر خطی سه بعدی یک برنامه کامپیوتری با استفاده از ماتریس سختی مماسی و روش تکرار تهیه شد [۵].

مايكل تسوس و همکارانش نیز روشی را برای فرمولبندی کابل تحت اثر وزن کابل در راستای طول آن ارائه دادند و نتایج خود را به صورت روابطی ارائه نمودند و مقادیر مدول الاستیسیته حاصل از روش ارائه شده خود را با مدول الاستیسیته مماسی مقایسه کردند [۶].

ريد کارومی نیز روشی را برای مدلسازی و تحلیل پل های کابلی تحت تاثیر وسایل نقلیه ارائه داد که در آن از المان های محدود موثر و صحیح برای مدلسازی سازه پل، المان تیری برای مدل کردن شاهتیر و برج و نیز از المان کابلی پیوسته دو گرهی با استفاده از تعابیر تحلیلی دقیق برای زنجیره الاستیکی جهت مدل کردن کابل، استفاده شده است. همچنین در تحقیقات او میرایی پل، رفتار واقعی کابل و آثار

هندسه غیر خطی حین تحلیل پاسخ دینامیکی مورد توجه قرار گرفت و اثر سرعت وسایل نقلیه، میرایی پل، عکس العمل بین پل و وسیله نقلیه و میراگر جرمی تنظیم شده بر روی واکنش دینامیکی پل مورد بررسی قرار گرفت [۷].

چن و همکاران در سال ۲۰۰۰ از روش تعادل نیرو برای پیدا کردن تنش های کابل استفاده کرده اند. آنها برای بهینه کردن، مدلسازی را طی سه مرحله انجام داده و به جای بکارگیری محدودیتهای تغییرمکانی از لنگرهای خمشی در کنترل پارامترها استفاده نموده اند [۸].

شاه و دسای اهمیت اثرات غیر خطی در پلهای کابلی را نشان دادند. با افزایش طول دهانه، رفتار غیر خطی نیز افزایش می یابد به نحوی که این اثر با میزان افتادگی کابلها افزایش یافته و لنگرهای ناشی از نیروی محوری و اندرکنش کابل با پایلوون و تیرهای اصلی موجب تغییر مکانهای بزرگ در روسازه می شود. به علاوه اثرات غیر خطی تحت اثر باد نیز تشديید می گردد. با افزایش دهانه پل و قطر کابلها و همچنین عدم یکنواختی سرعت باد بر سازه، اندرکنش غیر خطی باد-سازه به نحو چشم گیری افزایش می یابد که این امر تاثیرات فراوانی بر رفتار آیرواستاتیک پلهای کابلی با دهانه بزرگ خواهد داشت [۹].

سعید.م. عالم و ت.ک. داتا در خصوص محاسبه تغیرات فرکانس محیطی ناشی از لرزش های زمین در پلهای کابلی و ارتباط زاویه تحريكات مختلف زمین با محور طولی پل تحقیقاتی را ارائه کرده اند. میزان تحريكات زمین با تابع چگالی طیف قدرت و تابع وابستگی فضایی بیان شده است. محاسبه در شرایط متفاوت محیطی و با تغییر تحريكات زمین در فاصله بین پایلوون ها در حالات گوناگون ارتعاش و میزان تاثیرپذیری نیمه استاتیک تعریف می شود. تحلیل پارامتری برای بررسی میزان تاثیرپذیری از لرزهای زمین، انجام شده است. پارامتر های تحلیل شامل شرایط محیطی و تحريكات زمین، زاویه رخ دادن ارتعاشات، ضریب تغیرات بین سه مولفه زلزله، تعداد و ماهیت مودهای ارتعاش و ضریب تغیرات اینرسی بین پایلوون و عرضه و تابع چگالی طیف قدرت زمین هستند [۱۰].

دی. برونو و همکاران رفتار پل های کابلی با دهانه های بزرگ تحت بار زنده را مورد بررسی قرار داده اند. تحلیل بر اساس یک مدل پیوسته انجام شده و فرض شده است که فاصله بین مهارها در برابر طول دهانه قابل صرف نظر کردن است و در نتیجه اندرکنش نیروهای به وجود آمده در تیرها، پایلوون و کابلها توسط توابع توزیع پیوسته بیان می شود. در این بررسی از روش انتگرال گیری مستقیم برای حل معادله تعادل استفاده شده است. همچنین نیروهای گریز از مرکز که می توانند سبب رفتارهای خمشی و پیچشی گردند مورد توجه قرار گرفته و با انجام یک تحلیل حساسیت ضریب ضربه برای جرم خارجی متحرک بر روی عرضه محاسبه شده است [۱۱].

نظمی و همکارانش در مورد ارتعاش پل های کابلی در اثر زلزله تحقیقاتی موردی ارائه دادند و جهت شناخت دقیق از رفتار سازه در اثر زلزله با استفاده از مدل های سه بعدی مناسب آثار تغییر امواج زلزله در طول حرکت خود را لحاظ نمودند [۱۲].

## ۲- مدلسازی

جهت مدلسازی عرضه از یک باکس بتی در نرم افزار CSI Bridge استفاده شده است، المان عرضه به صورت سگمنت مدلسازی و در دو انتهای کابل متصل گردید. ارتباط باکس بتی و کابل های نیز توسط المان های صلب رابط Rigid Link تامین شده است. جهت مدلسازی کابل، از المان Cable که تنها در کشش عمل می کند و برای مدل سازی پایلوون از المان Frame استفاده شده است. پایه های پایلوون در بالا به هم متصل گردید.

## ۳- صحت سنجی

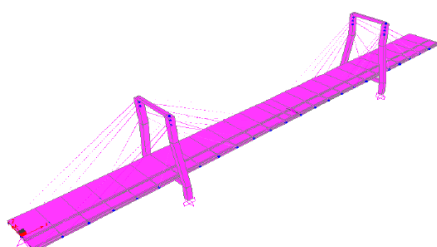
جهت صحت سنجی مدلسازی و بررسی نتایج نرم افزار از مدل مورد مطالعه در مرجع [۱۳] استفاده شده است. داده های پل های کابلی مورد بحث به شرح زیر است:

۱۰۰ متر

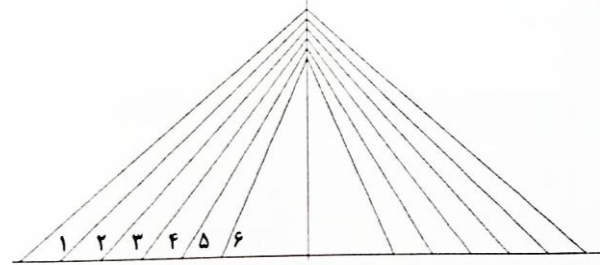
• دهانه مرکزی

دهانه کناری	•
ارتفاع قسمت پایین عرشه	•
ارتفاع قسمت بالای عرشه	•
عرض عرشه	•
ارتفاع مقطع عرشه	•
E= ۳۳۵۴۱ Mpa	مدول الاستسیسیته بتن
	پایلون از نوع H شکل و به ابعاد ۲×۲ متر
E= ۲۰۰۰۰ Mpa	مدول الاستسیسیته کابل
	مساحت سطح مقطع کابل ها:
Cable 1&2	۰/۰۰۴ m <sup>2</sup>
Cable 3&4	۰/۰۰۳ m <sup>2</sup>
Cable 5&6	۰/۰۰۲ m <sup>2</sup>

در شکل ۱ چیدمان و شکل پل کابلی و در شکل ۲ مدل سه بعدی پل مطابق مرجع [۱۳] نمایش داده شده است.



شکل ۲: مدل سه بعدی پل [۱۳]



شکل ۱: چیدمان و شکل پل کابلی [۱۳]

جدول ۱: مقایسه مقادیر فرکانس های طبیعی (rad/sec)

شماره مود	Reference	Present study
Mode 1	0.889	0.880
Mode 2	1.019	1.047
Mode 3	1.079	1.347
Mode 4	1.460	1.350
Mode 5	1.793	1.437
Mode 6	2.035	1.465
Mode 7	2.280	1.663
Mode 8	2.408	2.433
Mode 9	2.682	3.202
Mode 10	3.083	3.252
Mode 11	3.373	4.147
Mode 12	3.504	4.288

نتایج فرکانس‌های مرجع و نرم افزار CSI Bridge در جدول ۱ ارائه گردیده است. همانطور که ملاحظه می‌گردد، مقادیر فرکانس حاصل از مدلسازی پل کابلی در نرم افزار مورد استفاده، نزدیک به نتایج حاصل از مرجع [۱۳] می‌باشد و لذا این امر بیانگر تایید عملکرد نرم افزار مذکور و صحت مدلسازی در تحلیل پلهای کابلی می‌باشد.

#### ۴- تحلیل دینامیکی پلهای کابلی

تحلیل پل کابلی با استفاده از نرم افزار CSI Bridge و به صورت تاریخچه زمانی غیر خطی انجام شده است، که در آن اثرات حرکت زمین به صورت تاریخچه زمانی تغییرات شتاب مشخص می‌شود. در این روش تحلیلی، سازه پل در تراز پایه تحت تاثیر شتاب‌های ناشی از زلزله که شتاب نگاشت نامیده می‌شود، قرار گرفته و در هر مقطع زمانی از طول اثر زلزله بر سازه، بازتاب‌های دینامیکی سازه بصورت تابعی زمانی محاسبه می‌شود. شایسته ذکر است تحلیل دینامیکی تاریخچه زمانی به دو دسته تقسیم بندی می‌شود:

الف: تحلیل تاریخچه زمانی سازها به روش مودال (Fast Nonlinear Analysis)

ب: تحلیل تاریخچه زمانی با استفاده از انتگرال مستقیم

دسته اول مربوط به سیستم‌های با رفتار خطی همراه با تعداد محدودی عضو با رفتار غیر خطی می‌باشد که در این روش نمی‌توان رفتار غیر خطی ماده ای و هندسی شامل اثرات  $\Delta - P$  و تغییرشکل‌های بزرگ را در نظر گرفت که روش مناسبی برای تحلیل دینامیکی غیر خطی پلهای کابلی به حساب نمی‌آید. تنها روش کاربردی برای اینگونه پل‌ها روش انتگرال گیری عددی با گام زمانی است. روش انتگرال گیری مستقیم که پاسخ سازه را در حوزه زمان محاسبه می‌کند جزو روش مناسب برای تحلیل دینامیکی غیر خطی پلهای کابلی به حساب می‌آید که در این مقاله از این روش مورد استفاده قرار گرفته است. همچنین رفتار غیر خطی هندسی سازه بصورت شکم دادگی کابل‌ها با توجه به تغییرات نیروی محوری، اندرکنش نیروی محوری فشاری با لنگر خمشی در برجها و نیز اثرات تغییر شکل‌های نسبتاً بزرگ در نظر گرفته شده است. جهت بررسی دینامیکی پل مورد مطالعه، از دو تحلیل استاتیکی و دینامیکی پیاپی استفاده شده است به نحوی که تغییر شکل‌ها و تنش‌های موجود در اجزای پل، در انتهای تحلیل استاتیکی به صورت شرایط اولیه به تحلیل دینامیکی انتقال می‌یابد. تحلیل استاتیکی به منظور در نظر گرفتن وزن سازه پل و همچنین شکم دادگی کابل‌ها انجام شده است این تحلیل باعث می‌شود که فرم تغییر شکل یافته پل در ابتدای شروع تحلیل دینامیکی حفظ گردد. سپس در گام بعدی، از تحلیل دینامیکی به روش انتگرال گیری مستقیم با در نظر گرفتن تغییر شکل‌های بزرگ استفاده شده است.

#### ۵- شتاب نگاشت

شتاب نگاشت‌های انتخابی جهت تحلیل دینامیکی تاریخچه زمانی غیر خطی با توجه به ضوابط استاندارد ۲۸۰۰ [۱۵] ایران انتخاب و به مقیاس در آورده شدند. در این مقاله جهت انجام تحلیل‌ها از هفت زوج شتاب نگاشت به عنوان رکورد زلزله‌های مورد نیاز در تحلیل تاریخچه زمانی غیر خطی استفاده گردیده است. جزئیات شتاب نگاشت‌های مفروض و مشخصات لرزه‌ای آن‌ها در جدول ۲ نشان داده شده است. در انتخاب شتاب‌نگاشت سعی شده است شتاب نگاشتها تا حد امکان ویژگی‌های مشترکی داشته باشند، که شامل موارد ذیل می‌باشد:

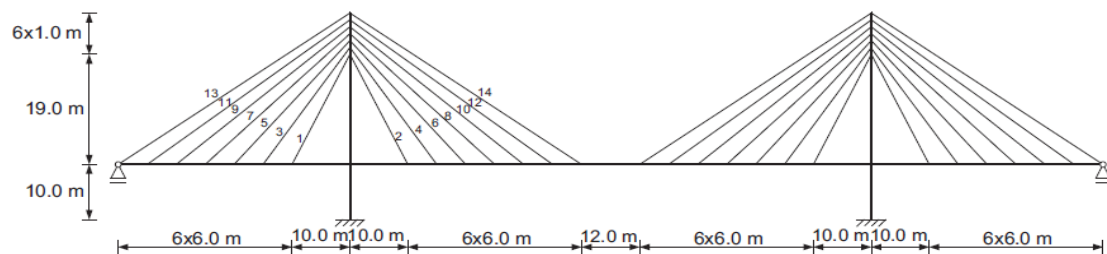
- در یک نوع طبقه بندی خاک قرار گیرند (خاک نوع C)
- دارای ویژگی‌های حوزه دور از گسل باشند.
- طول مدت موثر یکسان داشته باشند.

جدول ۲: مشخصات لرزه‌ای شتاب نگاشت‌ها

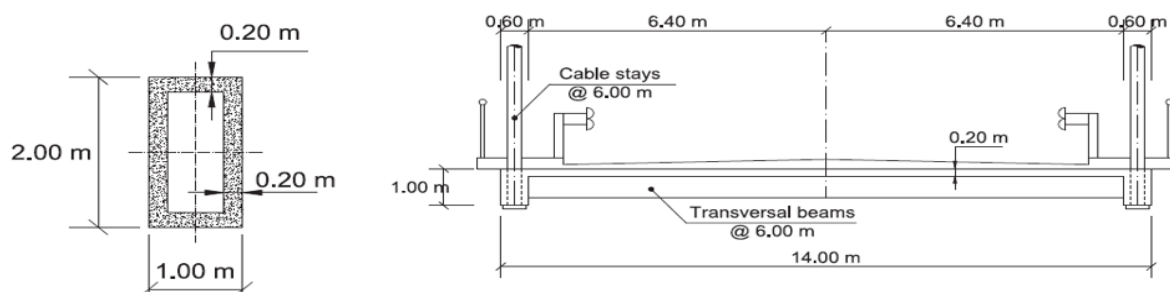
ضریب مقیاس	KM	PGA عرضی	PGA طولی	سال	بزرگی	ایستگاه	÷
1.64	70.26	0.053	0.068	1995	6.9	MZH	Kobe
1.32	59.04	0.054	0.062	1999	7.62	CHY012	Chi-Chi
1.73	91.14	0.104	0.093	1978	7.35	Ferdows	Tabas
1.93	68.62	0.066	0.074	1994	6.69	Anaheim - W Ball Rd	Northridge
1.32	144.9	0.038	0.052	1992	7.28	Anaheim - W Ball Rd	Landers
1.56	79.25	0.118	0.049	1989	6.93	Berkeley LBL	Loma Prieta
2.14	104.83	0.029	0.03	2003	6.6	Golbaf	Bam

## ۶- پل کابلی موردي

در این قسمت یک مطالعه موردی روی مدلی متقاضن انجام گرفته است، که دارای دو پایلوون به ارتفاع ۳۵ متر و به دهانه کلی ۱۹۶ متر است که دهانه اصلی آن ۱۰۴ متر و دهانه های کناری به طول ۴۶ متر و همچنین عرض این پل ۱۴ متر می باشد. کلیه ابعاد و جزئیات پل بر گرفته از مرجع [۱۶] می باشد که در زیر ارائه شده است.



شکل ۳: ابعاد اصلی پل کابلی ایستا[۱۶].



شکل ۴: مقطع عرضی عرشه و جزئیات پایلوون[۱۶].

جدول ۳: سطح مقطع کابل ها [۱۶]

شماره کابل	سطح مقطع کابل (cm <sup>2</sup> )
1	25.5
2	25.5
3	15
4	15
5	22.5
6	22.5
7	22.5
8	22.5
9	28.5
10	28.5
11	31.5
12	31.5
13	55.5
14	55.5

جدول ۴: خصوصیات مصالح پل کابلی ایستا

نوع مصالح	مدول ارتجاعی (KN/m <sup>2</sup> )	ضریب پواسون	چگالی (KN/m <sup>3</sup> )
بتن	$335 \times 10^5$	0.2	24.5
کابل	$1.95 \times 10^8$	0.3	77

## ۷- متغیرهای داخلی

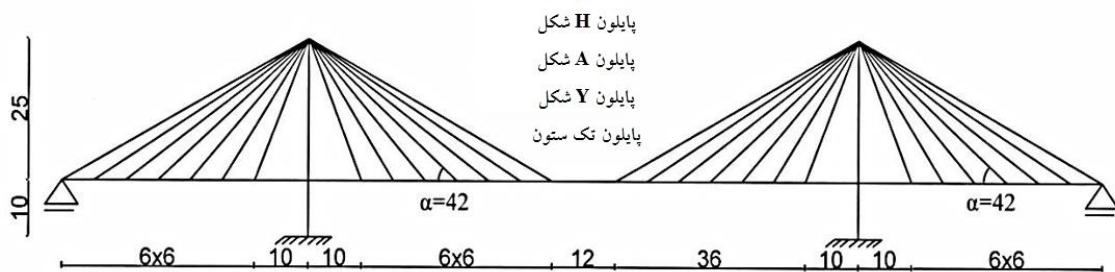
رفتار پلهای کابلی ایستا تحت تاثیر پارامترها یا متغیرهای داخلی گوناگون می باشد، که مهمترین این پارامترها عبارتند از:

- شکل هندسی آرایش کابل
- شکل پایلون
- ارتفاع پایلون
- تعداد کابل
- طول دهانه اصلی پل کابلی

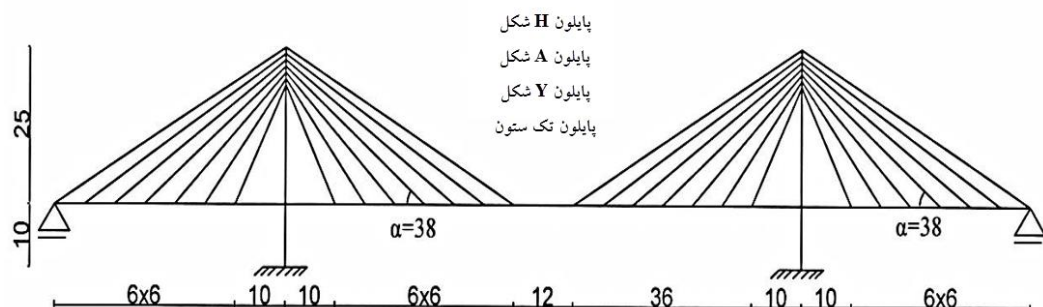
در این مقاله متغیرهای داخلی به کار رفته در پل مورد مطالعه شامل انواع شکل هندسی آرایش کابلی (شعاعی ، بادبزنی ، موازی ) و انواع مختلف پایلون شامل: A شکل ، H شکل ، ۲ شکل معکوس و تک ستونی شکل می باشد که در مجموع ۱۲ مدل پل کابلی با اعمال هفت زوج شتاب نگاشت معرفی شده که برای زلزله حوزه دور از گسل می باشند، تحلیل دینامیکی غیر خطی تاریخچه زمانی انجام گرفت. جزئیات مربوط به نوع آرایش کابلی در اشکال ۵ تا ۷ ارائه شده است.

جدول ۵: پل های کابلی موردنی

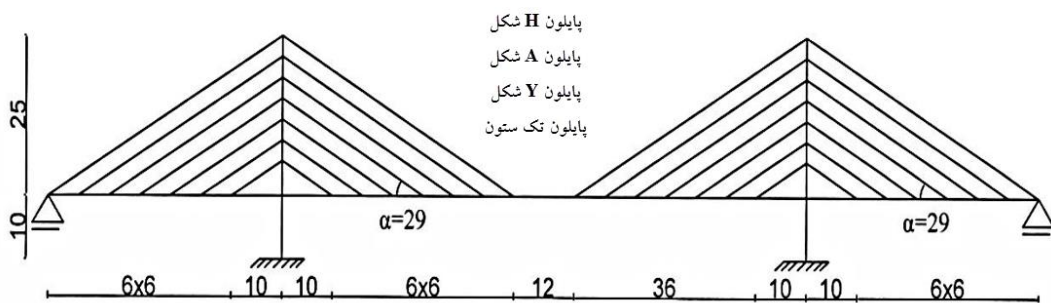
نوع آرایش کابلی	نوع پایلون	پل کابلی موردنی	شماره
H		پل موردنی	۱
H		پل موردنی	۲
H		پل موردنی	۳
A		پل موردنی	۴
A		پل موردنی	۵
A		پل موردنی	۶
Y		پل موردنی	۷
Y		پل موردنی	۸
Y		پل موردنی	۹
T		پل موردنی	۱۰
T		پل موردنی	۱۱
T		پل موردنی	۱۲



شکل ۵: پل کابلی ایستا با آرایش کابلی شعاعی.

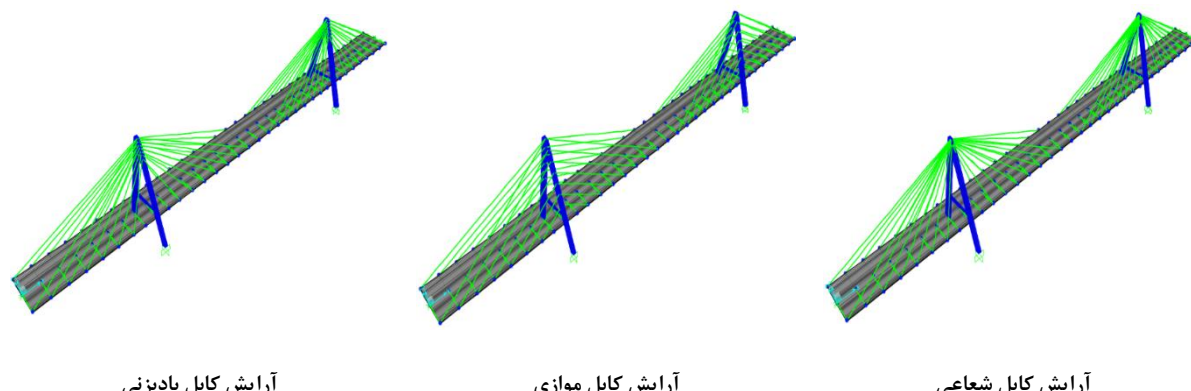


شکل ۶: پل کابلی ایستا با آرایش کابلی بادبزنی.

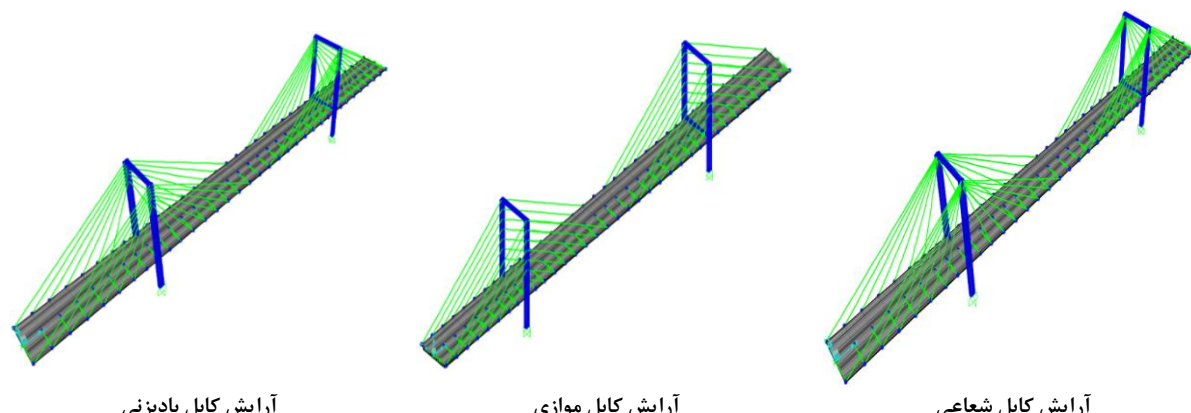


شکل ۷: پل کابلی ایستا با آرایش کابلی موازی.

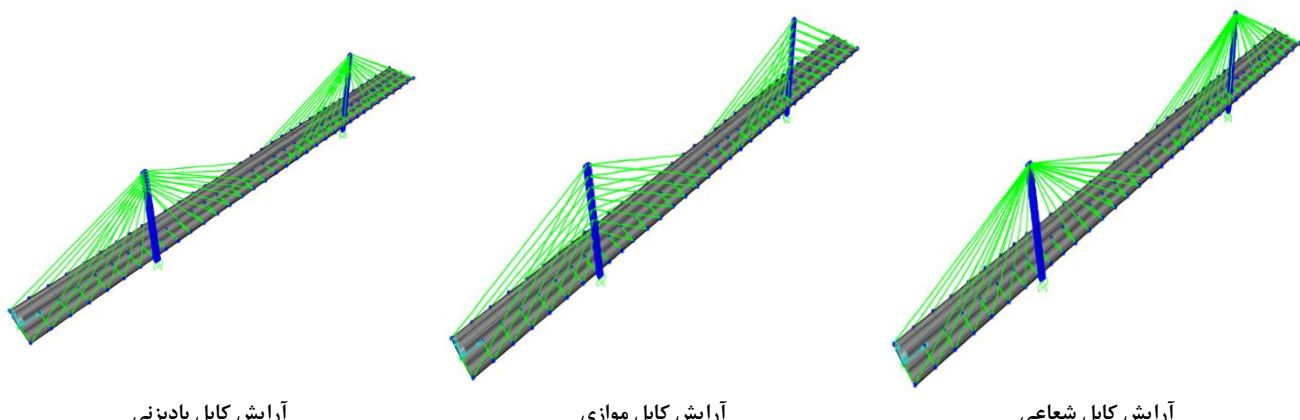
برای درک صحیح رفتار تیرهای اصلی در خمش و کشش و همچنین برای اینکه ممان اینرسی به درستی در تحلیل و طراحی وارد گردد لازم است مدلسازی عرشه به درستی در نرم افزار انجام شود. مدل اجزا محدود در اشکال (۸ تا ۱۱) نشان داده شده است. هر کدام از المانهای عرشه به صورت سگمنت مدلسازی و در دو انتهای کابل متصل می‌شوند. در این نقاط، از المان Rigid Link به صورت صلب برای اتصال کابل به عرشه استفاده می‌شود. استفاده از المان Rigid Link به شکل صلب جایگایی همه گره‌ها در یک جهت امکان پذیر می‌کند، در نتیجه باعث نمی‌شود که درجه آزادی اضافی به مدل تحمیل شود.



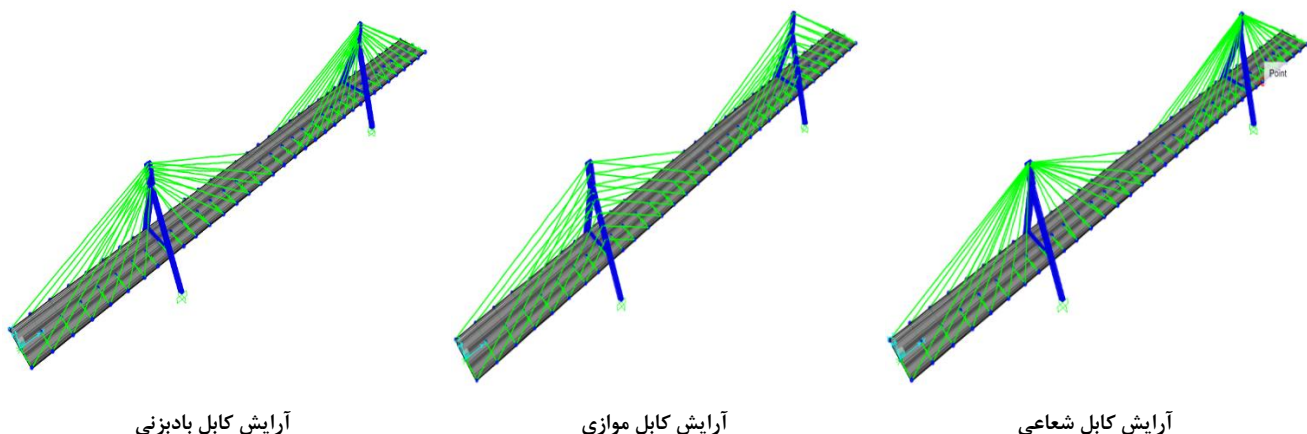
شکل ۸: پل کابلی با پایلون A شکل.



شکل ۹: پل کابلی با پایلون H شکل.



شکل ۱۰: پل کابلی با پایلون تک ستونی شکل.



شکل ۱۱: پل کابلی با پایلون Y شکل معکوس.

## ۸- پاسخ های پل در برابر زلزله

با توجه به تحلیل های صورت گرفته بر روی مدل های مطالعاتی، حداکثر مقادیر خروجی شامل لنگر خمی، نیروی برشی، لنگر پیچشی و نیروی محوری تحت اثر زلزله های تعریف شده مورد مقایسه قرار گرفته تا تاثیر حالات شکل پایلون با توجه به شرایط مختلف آرایش کابلی مشخص گردد.

### ۱-۸ لنگر خمی باکس بتني عرضه

ماکریم لنگر خمی ایجاد شده در باکس بتني عرضه در برابر شتاب نگاشت های اعمال شده به سازه مطابق جدول ۶ می باشد. برای پل کابلی با پایلون A شکل، با افزایش زاویه افقی کابل ها، مقدار لنگر خمی کاهش و سپس افزایش می یابد که برای آرایش کابلی از نوع بادبزنی و تا حدودی حالت شعاعی عملکرد بهتری نسبت به حالت موازی از خود نشان می دهدن. برای پل کابلی با پایلون H شکل با افزایش زاویه افقی کابل ها مقدار لنگر خمی افزایش یافته که آرایش کابلی از نوع موازی عملکرد بهتری دارد. پل کابلی با پایلون Y شکل معکوس بر خلاف پایلون H شکل با افزایش زاویه کابل ها میزان لنگر کاهش یافته که در آرایش کابلی از نوع شعاعی به حداقل می رسد و برای پایلون تک ستونی شکل آرایش کابلی از نوع شعاعی مناسب می باشد.

جدول ۶: ماکریم لنگر خمی باکس بتني عرضه در اثر اعمال شتاب نگاشت ها (kN.m)

I	Y	H	A	نوع پایلون
205265.32	215184.7	345180.2	209081.12	شعاعی $\alpha=42^\circ$
290520.33	336450.6	324234.6	195227.54	بادبزنی $\alpha=38^\circ$
275866.31	482885.2	235893.05	274660.74	موازی $\alpha=29^\circ$

### ۲-۸ نیروی محوری باکس بتني عرضه

ماکریم نیروی محوری ایجاد شده در باکس بتني عرضه در برابر شتاب نگاشت های اعمال شده به سازه در جدول ۷ ارائه شده است. با توجه به مقادیر ارائه شده برای پل کابلی با پایلون A شکل و پایلون تک ستونی، با افزایش زاویه افقی کابل ها مقدار نیروی محوری کاهش و سپس افزایش می یابد که برای آرایش کابلی از نوع بادبزنی به حداقل مقدار خود می رسد که این حالت عملکرد بهتری نسبت به دو حالت دیگر از خود نشان می دهد. برای پل کابلی با پایلون H شکل، رفتار کاملاً متفاوتی نسبت به پایلون A شکل از خود نشان داده است به طوری که با افزایش زاویه کابل ها نیروی محوری ایجاد شده افزایش و سپس کاهش می یابد که آرایش کابلی از نوع موازی عملکرد

بهتری دارد. نیروی محوری پل کابلی با پایلون ۷ شکل معکوس، با افزایش زاویه افزایش می یابد که آرایش کابلی از نوع موازی مناسب تر می باشد.

جدول ۷: ماکریم نیروی محوری باکس بتنی عرشه در اثر اعمال شتاب نگاشت ها (kN)

I	Y	H	A	نوع پایلون
128845.46	168977.95	132528	104590.9	شعاعی $\alpha=42$
115206.8	146673.04	155403.27	88992.93	بادبزنی $\alpha=38$
147063.95	115346.81	95404.35	149732.87	موازی $\alpha=29$

### ۳-۸ نیروی برشی باکس بتنی عرشه

ماکریم نیروی برشی ایجاد شده در باکس بتنی عرشه در برابر شتاب نگاشت های اعمال شده به پل های کابلی مطابق جدول ۸ می باشد. برای پل کابلی با پایلون A شکل، با افزایش زاویه افقی کابل مقدار نیروی برشی کاهش میابد که آرایش کابلی از نوع شعاعی و بادبزنی که تاحدودی مقادیر یکسانی دارند عملکرد بهتر نسبت به حالت موازی دارند. برای پل کابلی با پایلون H با افزایش زاویه کابل مقدار برش افزایش می یابد که مناسب ترین حالت آرایش کابلی حالت موازی می باشد. پل کابلی با پایلون ۷ شکل معکوس رابطه زاویه کابل و نیروی برشی غیر مستقیم می باشد به طوری که با افزایش زاویه کابل ها نیروی برشی کاهش می یابد که حالت شعاعی عملکرد بهتری به نسبت دو حالت دیگر دارد همچنین آرایش کابلی از نوع موازی به دلیل اثرات غیر خطی  $\Delta - P$  ضعیف ترین عملکرد در بین سایر پل های موردي از خود نشان داده است و برای پل کابلی با پایلون تک ستونی شکل، افزایش زاویه بر مقدار نیروی برشی تاثیر کمی دارد که هر سه حالت آرایش کابل مناسب می باشند.

جدول ۸: ماکریم نیروی برشی باکس بتنی عرشه در اثر اعمال شتاب نگاشت ها (kN)

I	Y	H	A	نوع پایلون
30505.31	28559.37	43983.3	26450.5	شعاعی $\alpha=42$
35463.5	48061.87	46418.82	25337.82	بادبزنی $\alpha=38$
36966.3	100204.34	32451.22	47920.51	موازی $\alpha=29$

### ۴-۸ لنگر پیچشی باکس بتنی عرشه

با توجه به مقادیر ارائه شده در جدول ۹ که مربوط به مقدار لنگر پیچشی باکس بتنی عرشه در برابر شتاب نگاشت های اعمال شده می باشد برای پل کابلی با پایلون H شکل به دلیل متمایل نبودن کابلها به در طرف داخل عرشه، ضعیف ترین عملکرد را از خود نشان داده است. برای پل کابلی با پایلون A شکل، لنگر پیچشی با افزایش زاویه کابل کاهش و سپس افزایش می یابد که آرایش کابلی از نوع موازی عملکرد ضعیفی از خود نشان داده است. برای پل کابلی میله ای شکل و ۷ شکل معکوس افزایش زاویه افقی کابل تاثیر زیادی بر روی لنگر پیچشی ندارد در نتیجه هر سه حالت آرایش کابلی تا حدودی عملکرد یکسانی دارند.

جدول ۹: ماکریم لنگر پیچشی باکس بتنی عرشه در اثر اعمال شتاب نگاشت ها (kN.m)

I	Y	H	A	نوع پایلون
4485.66	1708.8	10271.52	2556.36	شعاعی $\alpha=42$
3790.47	2091.47	14395.63	1688.2	بادبزنی $\alpha=38$
4441.5	2792.33	15942.13	8528.53	موازی $\alpha=29$

**۵-۸ نیروی محوری پایلون**

ماکزیمم نیروی محوری ایجاد شده در پایلون در برابر شتاب نگاشت های اعمال شده مطابق جدول ۱۰ می باشد. برای پل کابلی با پایلون A شکل، با افزایش زاویه افقی کابل ها مقدار نیروی محوری پایلون کاهش می یابد که برای آرایش کابلی از نوع شعاعی به مقدار حداقل می رسد که عملکرد مناسبی نسبت به دو حالت دیگر دارد. برای پل کابلی با پایلون H شکل، با افزایش زاویه کابلها مقدار نیروی محوری افزایش و حالت موازی نسبت به حالت های دیگر مناسب تر می باشد. برای پل کابلی با پایلون ۷ شکل معکوس، با افزایش زاویه کابلها مقدار نیروی محوری از حالت موازی به حالت بادبزنی به شدت کاهش می یابد و از حالت بادبزنی به حالت شعاعی مقدار تغییر نیرو ناچیز می باشد در نتیجه آرایش کابلی از نوع شعاعی و بادبزنی عملکردی مناسب تری نسبت به حالت موازی دارد. برای پل کابلی با پایلون تک ستونی شکل با افزایش زاویه کابل مقدار نیرو افزایش و سپس کاهش می یابد که مقدار نیرو در حالت شعاعی و موازی تقریباً برابر می باشد که از عملکرد مطلوبی برخوردارند.

جدول ۱۰: ماکزیمم نیروی محوری پایلون در اثر اعمال شتاب نگاشت ها (kN)

I	Y	H	A	نوع پایلون
58753.32	44314	60275	29343.72	شعاعی $\alpha=42$
73224.35	46054.8	40190.2	33002.45	بادبزنی $\alpha=38$
58369.83	102373.2	33800.46	48269.44	موازی $\alpha=29$

**۶-۸ جابجایی نوک پایلون**

با توجه جدول ۱۱ که مربوط به ماکزیمم جابجایی نوک پایلون می باشد می توان گفت برای پل کابلی با آرایش کابلی از نوع موازی، پایلون ۷ شکل معکوس، برای پل کابلی با آرایش بادبزنی، پایلون A شکل و برای پل کابلی با آرایش شعاعی پایلون تک ستونی عملکرد بهتری نسبت به سایر حالات پل کابلی از خود نشان داده اند و همچنین پل کابلی با پایلون H شکل با آرایش کابلی متفاوت، عملکرد ضعیفی از خود نشان داده است.

جدول ۱۱: ماکزیمم جابجایی نوک پایلون در اثر اعمال شتاب نگاشت ها (cm)

I	Y	H	A	نوع پایلون
61.82	78.55	83.54	78.36	شعاعی $\alpha=42$
71.11	79.5	92.24	67.88	بادبزنی $\alpha=38$
79.9	68.16	91.11	75.45	موازی $\alpha=29$

**۷-۸ لنگر خمی پایلون**

با توجه به مقادیر ارائه شده در جدول ۱۲ که مربوط به ماکزیمم لنگر خمی در پایلون در اثر اعمال شتاب نگاشت ها می باشد می توان گفت پل کابلی با پایلون A شکل، بهترین عملکرد را نسبت به سایر پایلون ها از خود نشان داده است. افزایش زاویه کابل ها برای هر یک از پایلون ها عملکرد یکسانی دارد به طوری که با افزایش زاویه مقدار لنگر خمی هر یک از پایلون ها افزایش و سپس کاهش می یابد و همچنین بهترین آرایش کابلی برای هر یک از پایلونها از نوع شعاعی می باشد.

جدول ۱۲: ماکزیمم لنگر خمی پایلون در اثر اعمال شتاب نگاشت ها (kN.m)

I	Y	H	A	نوع پایلون
68350.1	59327.45	65832.25	5344.54	شعاعی $\alpha=42$
85866.4	84160.14	79707.58	28132.44	بادبزنی $\alpha=38$
71420.5	80090	67501.98	17415.97	موازی $\alpha=29$

**۸-۸ نیروی برشی در پایلوون**

ماکزیمم نیروی برشی پایلوون در برابر اعمال شتاب نگاشت ها مطابق جدول ۱۳ می باشد. برای پل کابلی با پایلوون A شکل و ۷ شکل معکوس، با افزایش زاویه کابل ها مقدار نیروی برشی افزایش و سپس کاهش می یابد به طوری که آرایش کابلی از نوع بادبزنی عملکرد ضعیفی به نسبت دو حالت دیگر دارد. برای پل کابلی با پایلوون H شکل با افزایش زاویه کابل از حالت موازی به حالت بادبزنی مقدار برش افزایش و از حالت بادبزنی به حالت شعاعی مقدار برش کاهش می یابد. پل کابلی با پایلوون تک ستونی، آرایش کابلی از نوع شعاعی و بادبزنی عملکرد بهتری نسبت به حالت موازی دارد.

جدول ۱۳ : ماکزیمم نیروی برشی پایلوون در اثر اعمال شتاب نگاشت ها (kN)

I	Y	H	A	نوع پایلوون
18574.05	8409.57	20225	5096.12	شعاعی $\alpha=42$
18709.6	17957.58	21163.85	8807.95	بادبزنی $\alpha=38$
20695.47	7431.44	16447.04	4372.05	موازی $\alpha=29$

**۹-۸ لنگر پیچشی پایلوون**

بر اساس مقادیر ارائه شده در جدول ۱۴ که مربوط به ماکزیمم لنگر پیچشی پایلوون می باشد. می توان گفت پل کابلی با پایلوون تک ستونی با کمترین پیچش ایجاد شده بهترین عملکرد را از خود نشان داده است که تغییر زاویه کابل ها بر مقدار پیچش ایجاد شده تاثیر زیادی ندارد در نتیجه هر سه نوع حالت آرایش کابل عملکرد مطلوبی از خود نشان داده اند. برای پل کابلی با پایلوون A شکل و H شکل، با افزایش زاویه کابل از حالت موازی به حالت شعاعی مقدار لنگر پیچشی کاهش می یابد که آرایش کابلی از نوع شعاعی مناسب می باشد. برای پل کابلی با پایلوون ۷ شکل معکوس با افزایش زاویه کابل مقدار پیچش افزایش و سپس از حالت بادبزنی به حالت شعاعی کاهش می یابد که آرایش کابلی از نوع شعاعی عملکرد بهتری از خود نشان می دهد.

جدول ۱۴ : ماکزیمم لنگر پیچشی پایلوون در اثر اعمال شتاب نگاشت ها (kN.m)

I	Y	H	A	نوع پایلوون
70.1	2179.43	958.47	1114.35	شعاعی $\alpha=42$
77.1	3574.25	1232.3	1898.94	بادبزنی $\alpha=38$
74.2	3255.6	2150.64	3424.16	موازی $\alpha=29$

**۱۰-۸ نیروی محوری کابل میانی**

مطابق جدول ۱۵ پلهای کابلی با پایلوون A شکل، H شکل و تک ستونی مقادیر نیروی محوری تقریباً یکسانی در کابل ایجاد شده است در صورتی که پل کابلی با پایلوون ۷ شکل معکوس، مقدار نیروی زیادی در کابل ایجاد شده است. برای هر چهار پایلوون آرایش کابلی از نوع شعاعی و بادبزنی عملکرد یکسان و بهتری دارد.

جدول ۱۵ : ماکزیمم نیروی محوری کابل میانی در اثر اعمال شتاب نگاشت ها (kN)

I	Y	H	A	نوع پایلوون
1987.3	3540.2	1968.17	2260.45	شعاعی $\alpha=42$
2148.73	3634.64	2604.94	2086	بادبزنی $\alpha=38$
2298.51	6590.84	3053.71	2781.1	موازی $\alpha=29$

## ۱۱-۸ لنگر تکیه گاهی پایلوت

ماکزیمم لنگر تکیه گاهی ایجاد شده در اتصال پایلوت به زمین در برابر شتاب نگاشت های اعمال شده مطابق جدول ۱۶ می باشد که برای پل کابلی با پایلوت A شکل و پایلوت تک ستونی، با افزایش زاویه کابل ها مقدار لنگر تکیه گاهی کاهش می یابد که آرایش کابلی از نوع شعاعی عملکرد بهتری نسبت به دیگر حالات آرایش کابلها از خود نشان می دهد. برای پل کابلی با پایلوت H شکل، با افزایش زاویه کابلها مقدار لنگر تکیه گاهی افزایش می یابد که آرایش کابلی از نوع موازی عملکرد بهتری دارد. پل کابلی با پایلوت ۷ شکل معکوس، حالت بادبزنی عملکرد ضعیفی نسبت به دو حالت دیگر از خود نشان داده است.

جدول ۱۶: ماکزیمم لنگر تکیه گاهی پایلوت در انواع اعمال شتاب نگاشت ها ( $KN \cdot m$ )

I	۷	H	A	نوع پایلوت
12359424.2	16805452.4	18271432.4	11097190	$\alpha=42^\circ$ شعاعی
14115318.4	19616281	15239218	11698973.1	$\alpha=38^\circ$ بادبزنی
17332845.74	16535163	11317657.62	16046251.3	$\alpha=29^\circ$ موازی

## ۹- نتیجه گیری

با توجه به بررسی های صورت گرفته بر روی پلهای کابلی ایستا با در نظر گرفتن متغیرها و پارامترهای گوناگون و بررسی رفتار آنها به تحریکات شتاب زمین لرزه، می توان به نتایج زیر اشاره کرد:

- از نظر لنگر خمشی و نیروی برشی ایجاد شده در باکس بتی عرضه، برای آرایش کابلی از نوع موازی، پایلوت H شکل و برای آرایش کابلی از نوع بادبزنی، پایلوت A شکل عملکرد بهتری از خود نشان داده اند. همچنین برای آرایش کابلی از نوع شعاعی، پایلوت H شکل عملکرد ضعیفی نسبت به دیگر پایلوت ها از خود نشان داده است.
- در خصوص نیروی محوری باکس بتی عرضه، برای پل کابلی با آرایش کابل از نوع موازی، پایلوت H شکل و آرایش کابلی از نوع باد بزنی و شعاعی، پایلوت A شکل عملکرد بهتری از خود نشان داده اند.
- در خصوص لنگر پیچشی باکس بتی عرضه، تغییر آرایش کابل ها برای پل کابلی با پایلوت تک ستونی و ۷ شکل معکوس تاثیر گذار نمی باشد. در این خصوص پل کابلی با پایلوت ۷ شکل معکوس با انواع آرایش کابل ها و همچنین پل کابلی با پایلوت A شکل، با آرایش بادبزنی عملکرد مناسبی دارند.
- در خصوص لنگر خمشی و نیروی برشی ایجاد شده در پایلوت، پل کابلی با پایلوت A شکل نسبت به سایر پایلوت ها عملکرد بهتری داشته که در این خصوص آرایش کابلی از نوع موازی و شعاعی مناسب می باشند.
- در مورد نیروی محوری پایلوت ها، برای آرایش کابلی از نوع موازی، پایلوت H شکل و برای آرایش کابلی از نوع شعاعی و بادبزنی پل کابلی با پایلوت A شکل عملکرد خوبی از خود نشان داده اند.
- از نظر لنگر پیچشی پایلوت ها، پل کابلی با پایلوت تک ستونی بهترین عملکرد را دارد که تغییر آرایش کابل بر روی آن تاثیر کمی دارد و همچنین برای پایلوت های H شکل و A شکل با افزایش زاویه کابل ها مقدار پیچش کاهش می یابد.
- در خصوص لنگر تکیه گاهی، برای پل کابلی با آرایش کابل موازی، پایلوت H شکل و برای آرایش کابلی از نوع شعاعی و بادبزنی پایلوت A شکل عملکرد بهتری از خود نشان داده اند.

با توجه به بحث های صورت گرفته می توان گفت پایلون A شکل و تا حدودی H شکل عملکرد بهتری نسبت به سایر پایلونها دارند که در این خصوص برای آرایش کابلی از نوع شعاعی و بادبزنی، پایلون A شکل و برای آرایش کابلی از نوع موازی، پایلون H شکل مناسب می باشند.

## مراجع

- [1] Fleming JF. "Nonlinear static analysis of cable-stayed bridges". Computers & Structures ; 1979, 10:621-635.
  - [2] Komatso, Sada. "Dynamic characteristic of cable stayed girder bridges", Department of Civil Engineering. Japanm.1975.
  - [3] ZHANG Xin-jun, SUN Bing-na. "Aerodynamic stability of cable-stayed suspension hybrid bridges". Univ SCI. Vol.6, 2004, PP.869-874.
  - [4] Abdel-Gaffar, AlyS.Nazmy. "3-D Nonlinear seismic behavior of cable-stayed bridges", Journal of structural Engineering, USA.Vol. 117, 1991, PP. 4343-4576.
  - [5] Nazmy-AlyS, Ahmed M, Abdel-Ghaffar. "Three-dimensional nonlinear static analysis of cable stayed bridges". Computer and structures, USA: Vol. 34 n2, 1990, PP. 257-271.
  - [6] N.Hajdin, G.T.Michaltsos, T.G.Konstantakopoulos. "About equivalent modulus of elasticity of cable-stayed bridge", Architecture and Civil Engineering. Vol. 1, No 5, 1998 , PP. 569 –575.
  - [7] Raid Karoumi. "Modeling of cable-stayed bridges for analysis of traffic induced vibration", Department of Structural Engineering Royal Institute of Technology SE-100 44 Stockholm, 2000.
  - [8] D.W.Chen, F.T.K.Au, L.G. Tham, and P.K.K.Lee, "Determination of initial cable forces in prestressed concrete cable-stayed bridges for given design deck profiles using the force equilibrium method", Computers and Structures, vol. 74, no. 1, 2000, pp. 1–9.
  - [9] N.D.Shah and Dr.J.A.Desai, "Nonlinear aerostatic analysis of cable-stayed bridge considering IRC vehicular loading", proceeding of the 5th national conference on wind E NGINEERING svnit. 2009.
  - [10] Said M.Allam, TK Datta, "seismic behavior of cable-stayed bridge under multi component random ground motion", Engineering structures.1999.
  - [11] D.Bruno, F.Greoo, P.Lonetti, "Dynamic impact analysis of long span cable-stayed bridge under moving loads", Engineering structures, 2008.
  - [12] Nazmy-AlyS, Ahmed M, Abdel-Ghaffar. "Effect of grand motion spatial variability on the response of cable-stayed bridges". Earthquake engineering & strustructural Dynamic,USA, 1992, PP. 1-20
  - [13] Thomas Blesson B. and S. P.Thakkar, "Parametric study of shapes of pylon for cable-stayed bridge", Journal of Engineering and Technology, VOL.2, 2011, NO.1.
  - [14] Jayaraman HB, Knudson WC. "A curved element for the analysis of cable structures". J Comput Struct; 14(3-4):325–333.1981.
- ۱۵] آیین نامه طراحی ساختمان ها در برابر زلزله، استاندارد ۲۸۰۰، ویرایش ۳، ۱۳۹۳.
- [16] Martins A.M.B, L.M.C Simoes, J.H.J.O Negrao. "Optimization of cable forces on concrete cable-stayed bridges including geometrial nonlinearities", Journal of computers and structures, 2015.